



تأثیر نسبت مولی اسید سیتریک بر خواص ساختاری، مغناطیسی و دیالکتریکی نانوساختار هگزا فریت استرانسیوم نوع - Y - $(\text{Sr}_2\text{Co}_2\text{Fe}_{12}\text{O}_{22})\text{Y}$

سید ابراهیم موسوی قهفرخی^{*}، فاطمه حملزاده احمدی، مرتضی زرگرسوشترا

گروه فیزیک، دانشکده علوم، دانشگاه شهید چمران اهواز، اهواز

(دريافت مقاله: ۹۵/۱۰/۱۱، نسخه نهاي: ۹۶/۲/۲۵)

چکیده: در این پژوهش، نانو ساختارهای هگزا فریت استرانسیوم نوع - Y ($\text{Sr}_2\text{Co}_2\text{Fe}_{12}\text{O}_{22}$) با نسبت مولی اسید سیتریک به نیترات‌های فلزی $1:0.5$ ، $1:1$ ، $1:1.5$ و $1:2$ به روش سل - ژل خوداحتراقی تهیه و پودر حاصل در دمای 1000°C به مدت ۳ ساعت پخته شد. خواص ساختاری، مغناطیسی و دیالکتریکی نانوساختارهای $\text{Sr}_2\text{Co}_2\text{Fe}_{12}\text{O}_{22}$ با استفاده از آنالیز پراش سنج پرتو X (XRD)، مغناطیس سنج (FESEM) و طیف سنج فروسرخ - تبدیل فوریه (FT-IR)، میکروسکوپ الکترونی روبشی گسیل میدانی (VSM) و LCR متر بررسی شدند. نتایج بدست آمده از الگوهای پراش نشان داد که در نسبت‌های مولی $1/5$ و 2 ، فریت شش‌گوشی (VSM) و Y ($\text{Sr}_2\text{Co}_2\text{Fe}_{12}\text{O}_{22}$) به طور کامل تشکیل شده است به طوری که در نسبت مولی $1/5$ قله‌ها و شدت آن‌ها با کارت استاندارد همخوانی بهتری دارد. همچنین نتایج خواص دیالکتریکی نشان داد که با افزایش بسامد، ثابت دیالکتریک و اتلاف دیالکتریک کاهش می‌یابند، که بیانگر این است که این نمونه‌ها برای کاربرد در تجهیزات ریزموچ می‌توانند مناسب باشند. نتایج نشان داد که بهترین نمونه با دمای 1000°C ، زمان ۳ ساعت با نسبت مولی اسید سیتریک $1/5$ تهیه شده است.

واژه‌های کلیدی: هگزا فریت استرانسیوم نوع - Y؛ خواص ساختاری؛ خواص مغناطیسی؛ نسبت مولی اسید سیتریک.

بیشتر فریت‌های نوع Y در دمای اتاق مغناطیش عمود بر محور C دارند [۶]. خواص هگزا فریت نوع Y به عوامل مختلفی از قبیل روش آماده‌سازی، نوع و مقدار آلایش بستگی دارد. موضوع اصلی این مقاله، ساخت و بررسی تأثیر نسبت مولی اسید سیتریک بر خواص ساختاری، مغناطیسی و دیالکتریکی نانوساختار $\text{Sr}_2\text{Co}_2\text{Fe}_{12}\text{O}_{22}$ تهیه شده به روش سل - ژل است.

شرح آزمایش و اندازه‌گیری‌ها

هگزا فریت استرانسیوم نوع - Y به روش سل - ژل خوداحتراقی تهیه شد. به این منظور مقدار استوکیومتری از نیترات‌های $\text{Co}(\text{NO}_3)_3 \cdot 6\text{H}_2\text{O}$ و $\text{Sr}(\text{NO}_3)_3 \cdot 9\text{H}_2\text{O}$ یون‌زدایی حل شده و محلول به دست آمده در حمام آب قرار داده شد. برای همگن ساختن محلول، آن را روی همزن مغناطیسی در دمای 30°C قرار داده تا به طور کامل حل شود. سپس اسید سیتریک با نسبت‌های مولی 0.5 ، 1 ، 1.5 و 2

مقدمه مواد مغناطیسی گروه بزرگی از مواد هستند که به طور وسیع در دستگاه‌های مختلف مغناطیسی استفاده می‌شوند [۱]. فریت‌ها گروه مهمی از مواد مغناطیسی و شامل: فریت‌های نرم، فریت‌های سخت و گارنت‌ها هستند. فریت‌های سخت به ویژه شش‌گوشی‌ها، خواص مهمی از قبیل مقاومت الکتریکی و خواص مکانیکی بالا و خواص مغناطیسی مطلوب دارند [۲]. هگزا فریت‌ها شامل ۶ نوع مختلف M، W، X، Y، Z و U هستند [۳]. در میان آن‌ها فریت نوع - Y با فرمول کلی $\text{Ba}_2\text{Me}_2\text{Fe}_{12}\text{O}_{22}$ ، که به جای Me می‌توان از کاتیون‌های Sr^{2+} و Pb^{2+} استفاده کرد و نیز یک کاتیون دوظرفیتی از قبیل Zn^{2+} ، Co^{2+} ، Cu^{2+} است [۴]. ساختار مولکولی هگزا فریت نوع - Y شامل یک بلوك S و یک بلوك T که سلول واحد آن R_3m (ST) و گروه فضایی 4c است [۵].

که در اینجا $\delta = C_p(F) \cdot R_p(\Omega) \cdot f(H_z)$ به ترتیب زاویه اتلاف، بسامد، مقاومت معادل موازی مدار و ظرفیت موازی معادل هستند. اتلاف دیالکتریک $(\epsilon'')_{QFH_z}^{-1}$ (توسط رابطه زیر به عامل اتلاف بستگی دارد [۱۰، ۹]:

$$\epsilon'' = \epsilon' \tan \delta \quad (7)$$

رسانندگی $(\sigma_{ac})_{ac} (\Omega \cdot m)^{-1}$ و نفوذپذیری مغناطیسی (μ) به ترتیب از روابط زیر محاسبه شدند [۱۱، ۱۲]:

$$\sigma_{ac} = \epsilon' \epsilon_0 \omega \tan \delta \quad (8)$$

$$\mu = \mu_0 L_s / L_0 \quad (9)$$

که μ_0 نفوذپذیری مغناطیسی خلا، L_0 القای مغناطیسی سیم پیچ در حضور هسته است. برای محاسبه اتلاف نفوذپذیری مغناطیسی (μ'')، ابتدا باید عامل اتلاف $(\tan \delta)$ (رابطه ۱۰) که متفاوت از عامل اتلاف دیالکتریک (رابطه ۶) است را تعیین کرد.

$$\tan \delta = \frac{R_s}{\omega L_s} \quad (10)$$

در این رابطه، δ ، R_s و L_s به ترتیب زاویه اتلاف، مقاومت معادل سری مدار، بسامد زاویه‌ای و القای مغناطیسی سیم پیچ در حضور هسته می‌باشد. بنابراین اتلاف نفوذپذیری مغناطیسی از رابطه زیر محاسبه می‌شود [۱۲]:

$$\mu'' = \mu' \tan \delta \quad (11)$$

ریخت‌شناسی و ضخامت صفحات با میکروسکوپ الکترونی FT-IR گسیل میدانی (FESEM) بررسی شد. طیف روبشی گسیل میدانی (M-H) به ترتیب پهنه‌ای قله بیشینه و زاویه برآگ، و I_x شدت فاز اصلی و I_y شدت فاز ناخالصی است [۷، ۸]. خواص مغناطیسی نمونه‌ها شامل مغناطش اشباع (M_s)، مغناطش مانده (M_r)، و ادارنده مغناطیسی (H_c) و نسبت چارگوشی حلقه پسماند ($\frac{M_r}{M_s}$) از حلقه‌های پسماند M-H به دست آمده

در دمای اتاق با میدان اعمالی ۱۲ kOe تعیین شد. ویژگی‌های دیالکتریکی در گستره بسامدی ۱ MHz تا ۱ KHz در دمای ۱ درجه Celsius با استفاده از دستگاه LCR متر (مدل تایوان ۸۲۱) به دست آمد. ثابت دیالکتریک با استفاده از رابطه زیر تعیین شد:

$$\epsilon' = C_d / \epsilon_0 A \quad (5)$$

که در این رابطه، C_d ، A و ϵ_0 به ترتیب ظرفیت قرص بر حسب فاراد، ضخامت قرص بر حسب متر، سطح مقطع قرص بر حسب مترمربع ($A = \pi r^2$) و ثابت دیالکتریکی خلا هستند. عامل اتلاف دیالکتریک با رابطه زیر تعیین می‌شود:

در هر مرحله به طور جداگانه به محلول اضافه شد. با اضافه کردن تدریجی آمونیاک، مقدار pH محلول بر مقدار ۷ تنظیم شد. این محلول در حمام آب در دمای $100^\circ C$ تبخیر شد تا زمانی که ژلی با چسبندگی بالا شکل گرفت. ژل حاصل به مدت ۳۰ دقیقه درون کوره با دمای $300^\circ C$ قرار داده شد تا عمل احتراق صورت بگیرد. در نهایت ژل خشک چهار نمونه با نسبت‌های مولی مختلف اسید سیتریک در دمای $1000^\circ C$ به مدت ۳ ساعت پخته شد. مشخصه‌های ساختاری نمونه‌ها و بررسی فازی آن‌ها شامل ثابت‌های شبکه شش‌گوشی (a, c) و حجم یاخته یکه (V_{cell})، متوسط اندازه‌ی بلورک‌ها (D) و توسط دستگاه پراش‌سنجد پرتو ایکس و روابط زیر تعیین شد.

$$\sin^2 \theta = \frac{\lambda^2}{3a^2} (h^2 + hk + k^2) + \left(\frac{\lambda^2}{4C^2} \right) l^2 \quad (1)$$

$$V_{cell} = a^2 c \sin 120^\circ = 0.8666 a^2 c \quad (2)$$

$$D = \frac{0.89\lambda}{\beta \cos \theta} \quad (3)$$

$$P\% = \frac{\sum I_x}{\sum I_x + \sum I_y + \dots} \times 100 \quad (4)$$

در این روابط، h ، k و l شاخص‌های میلر، λ طول موج پرتو X، β و θ به ترتیب پهنه‌ای قله بیشینه و زاویه برآگ، و I_x شدت فاز اصلی و I_y شدت فاز ناخالصی است [۷، ۸]. خواص مغناطیسی نمونه‌ها شامل مغناطش اشباع (M_s)، مغناطش مانده (M_r)، و ادارنده مغناطیسی (H_c) و نسبت چارگوشی حلقه پسماند ($\frac{M_r}{M_s}$) از حلقه‌های پسماند M-H به دست آمده

در دمای اتاق با میدان اعمالی ۱۲ kOe تعیین شد. ویژگی‌های دیالکتریکی در گستره بسامدی ۱ MHz تا ۱ KHz در دمای ۱ درجه Celsius با استفاده از دستگاه LCR متر (مدل تایوان ۸۲۱) به دست آمد. ثابت دیالکتریک با استفاده از رابطه زیر تعیین شد:

$$\epsilon' = C_d / \epsilon_0 A \quad (5)$$

که در این رابطه، C_d ، A و ϵ_0 به ترتیب ظرفیت قرص بر حسب فاراد، ضخامت قرص بر حسب متر، سطح مقطع قرص بر حسب مترمربع ($A = \pi r^2$) و ثابت دیالکتریکی خلا هستند.

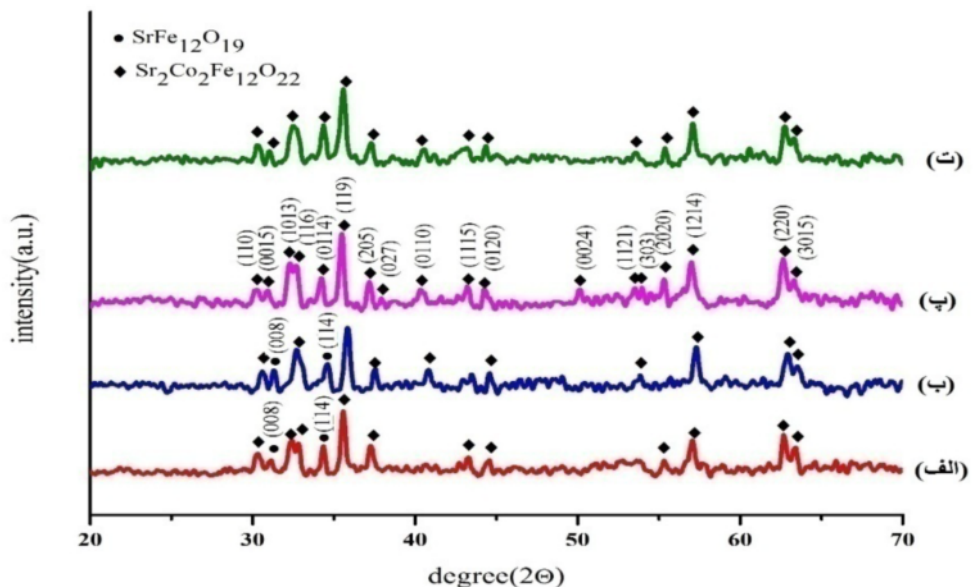
عامل اتلاف دیالکتریک با رابطه زیر تعیین می‌شود:

$$\tan \delta = 1 / 2\pi f R_p C_p \quad (6)$$

کششی (NO_3^-) هستند [۷]. در شکل ۳ الف و ۳ ت نوارهای در $434,771\text{cm}^{-1}$ و $594,071\text{cm}^{-1}$ و $554,246\text{cm}^{-1}$ همچنین دو نوار در $1377,3\text{cm}^{-1}$ و $1456,95\text{cm}^{-1}$ ناشی از حضور مد ارتعاش کششی (NO_3^-) است. شکل ۳ ب نوارهای در $438,089\text{cm}^{-1}$ و $594,071\text{cm}^{-1}$ و همچنین $816,427\text{cm}^{-1}$ ناشی از (NO_3^-) هستند. شکل ۳ پ طیف FT-IR نمونه پخت شده با نسبت مولی اسید سیتریک ۱/۵ با نسبت‌های مولی اسید سیتریک ۰/۵، ۱، ۱/۵ و ۲ در گستره عدموج $4000-400\text{cm}^{-1}$ را نشان می‌دهند. با توجه به شکل ۲، در نمونه‌ی پیش از پخت، نوارهای جذبی موجود در نوارهایی در گستره‌ی $430-470\text{cm}^{-1}$ و $550-590\text{cm}^{-1}$ دیده می‌شود که متناظر با تشکیل خوشهای چاروچهی و هشت‌وچهی هستند که خود حضور مد کششی پیوند فلز-اکسیژن را در هگزافریت تأیید می‌نمایند [۸].

نیترات‌های فلزی ۱/۵ است. با استفاده از داده‌های الگوی پراش پرتو ایکس نمونه‌ها، اطلاعات ریزساختاری شامل ثابت‌های شبکه a و c، حجم یاخته یکه، درصد تشکیل فاز در نمونه‌ها و اندازه متوسط بلورک‌ها محاسبه شد که در جدول ۱ آورده شده‌اند.

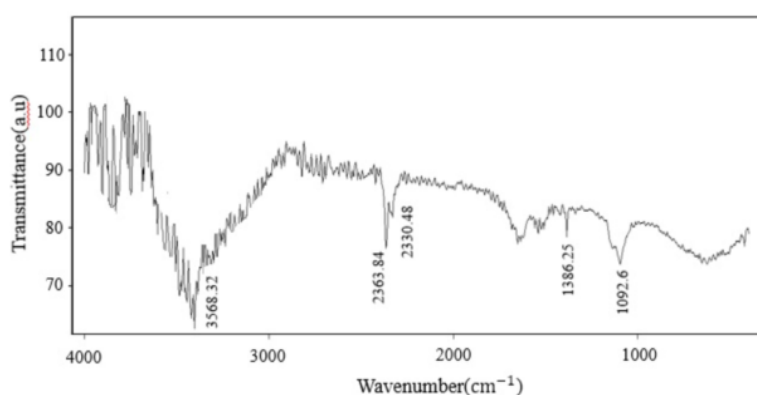
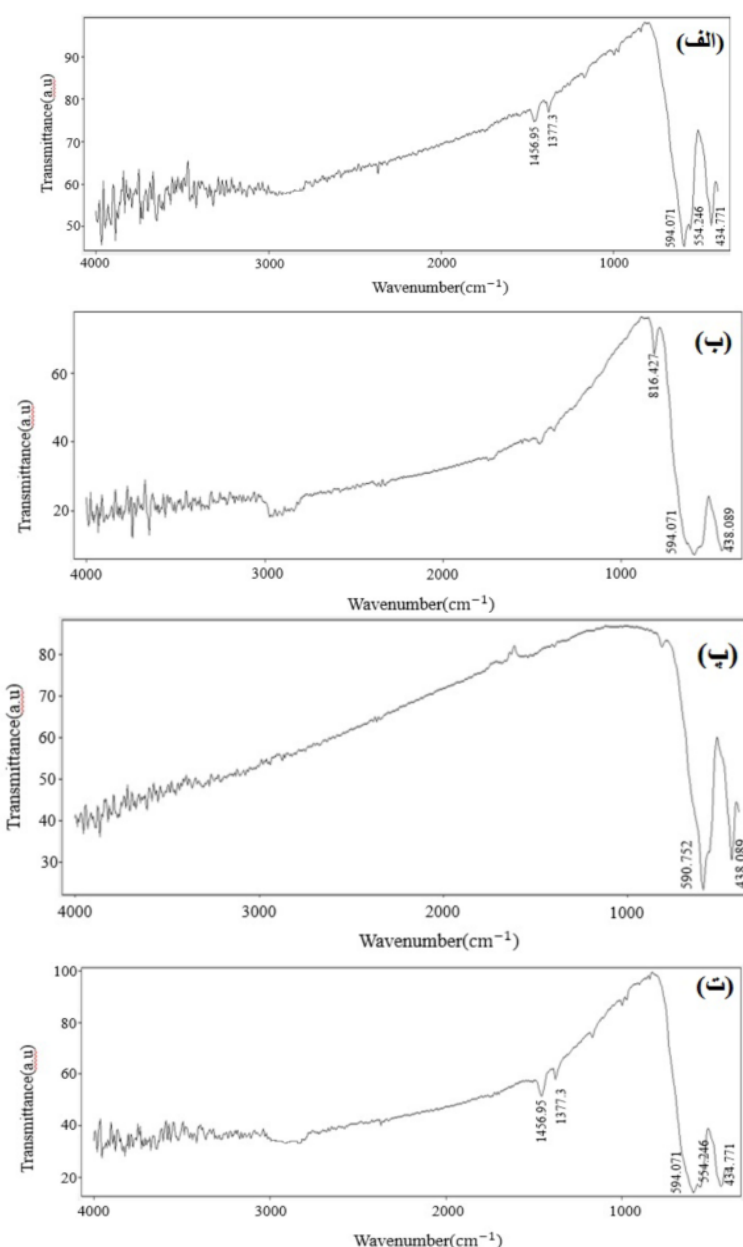
شکل‌های ۲ و ۳، به ترتیب طیف FT-IR ژل خشک و نانوساختار $\text{Sr}_2\text{Co}_2\text{Fe}_{12}\text{O}_{22}$ تهیه شده در دمای 1000°C با نسبت‌های مولی اسید سیتریک ۰/۵، ۱، ۱/۵ و ۲ در گستره عدموج $4000-400\text{cm}^{-1}$ را نشان می‌دهند. با توجه به شکل ۲، در نمونه‌ی پیش از پخت، نوارهای جذبی موجود در $3568,32\text{cm}^{-1}$ و $2363,84\text{cm}^{-1}$ مربوط به مولکول‌های آب جذب شده و ارتعاشات کششی O-H آب و اسید سیتریک هستند، نوار در $1653,1\text{cm}^{-1}$ مربوط به ارتعاشات کششی نامتقارن گروه COOH- و نوارهای جذبی در حدود $1386,25\text{cm}^{-1}$ و $1092,6\text{cm}^{-1}$ متناظر با مد ارتعاشی



شکل ۱ الگوی پراش پرتو ایکس نمونه‌های تهیه شده با نسبت‌های مختلف اسید سیتریک، (الف) ۰/۵، (ب) ۱، (پ) ۱/۵ و (ت) ۲.

جدول ۱ ثابت‌های شبکه شش‌گوشی (a,c) (V_{cell})، درصد فازهای موجود در نمونه (%) (P) و متوسط اندازه‌ی بلورک‌ها (D) نمونه‌های $\text{Sr}_2\text{Co}_2\text{Fe}_{12}\text{O}_{22}$ تهیه شده با نسبت‌های مولی اسید سیتریک ۰/۵، ۱، ۱/۵ و ۲.

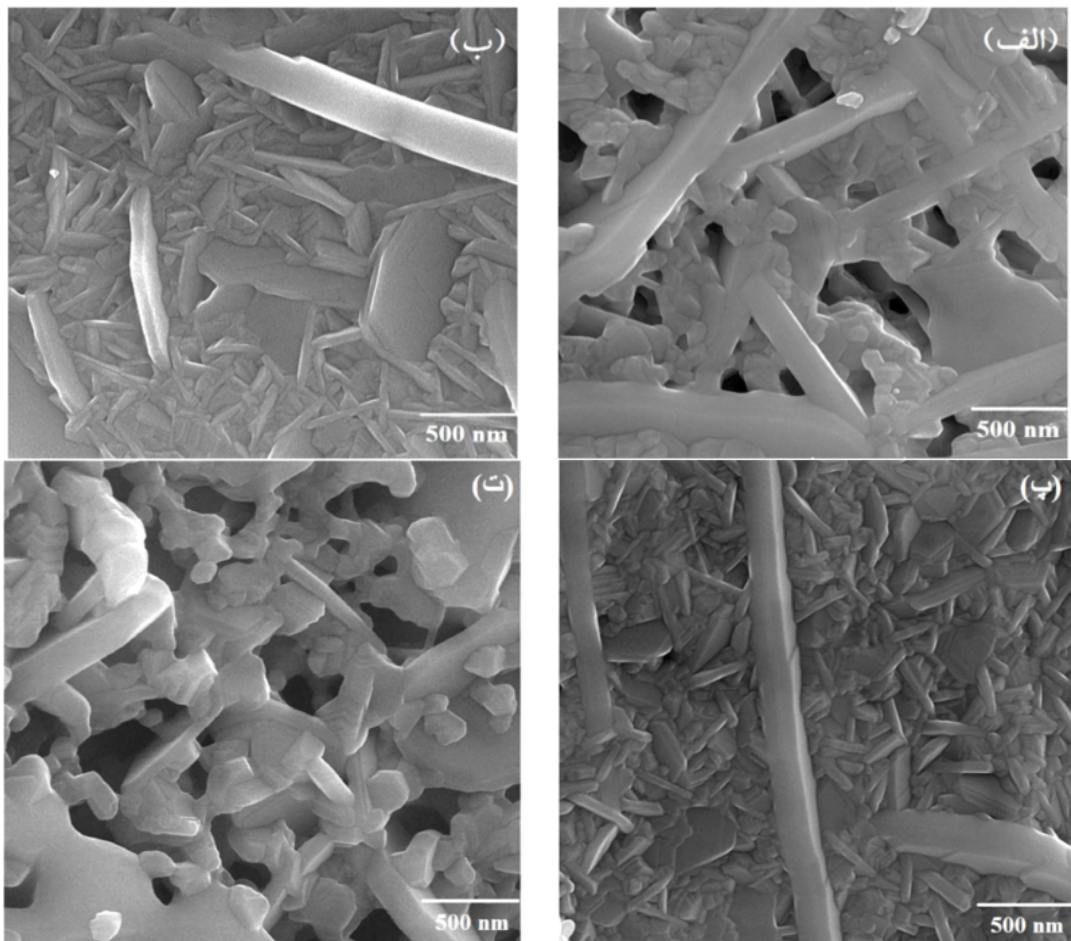
D (nm)	P(%)	$V_{cell} (\text{\AA}^3)$	c (\text{\AA})	a (\text{\AA})	نسبت مولی
۲۷	۱۱.۵% $\text{SrFe}_{12}\text{O}_{19}$ ۸۸.۵% $\text{Sr}_2\text{Co}_2\text{Fe}_{12}\text{O}_{22}$	۱۲۹۳.۶۴۱	۴۳.۴۹۳	۵.۸۵۸	۰/۵
۲۵	۹۹.۷% $\text{SrFe}_{12}\text{O}_{19}$ ۰.۳% $\text{Sr}_2\text{Co}_2\text{Fe}_{12}\text{O}_{22}$	۱۲۹۴.۳۴۹	۴۳.۴۸۷	۵.۸۶۰	۱
۲۵	۱۰۰% $\text{Sr}_2\text{Co}_2\text{Fe}_{12}\text{O}_{22}$ ۰% $\text{SrFe}_{12}\text{O}_{19}$	۱۲۹۳.۸۱۳	۴۳.۵۰۷	۵.۸۵۸	۱/۵
۲۴	۱۰۰% $\text{Sr}_2\text{Co}_2\text{Fe}_{12}\text{O}_{22}$ ۰% $\text{SrFe}_{12}\text{O}_{19}$	۱۲۹۴.۷۷۴	۴۳.۵۱۸	۵.۸۵۹	۲

شکل ۲ طیف FT-IR ژل-خشک نانوساختار $\text{Sr}_2\text{Co}_2\text{Fe}_{12}\text{O}_{22}$ شکل ۳ طیف FT-IR نانوساختار $\text{Sr}_2\text{Co}_2\text{Fe}_{12}\text{O}_{22}$ تهیه شده با نسبت مولی اسید سیتریک (الف)، (ب)، (ج) و (د).

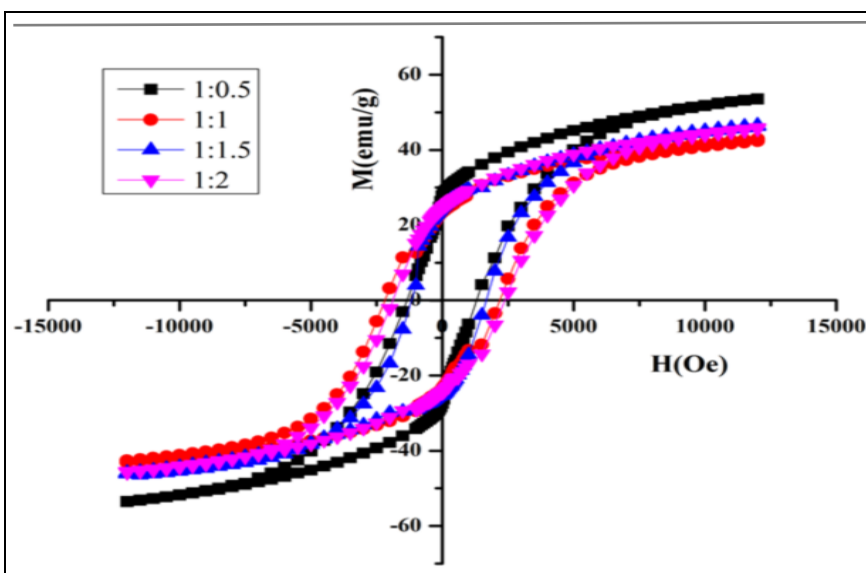
مشخصه‌های مغناطیسی شامل وادارندگی مغناطیسی (H_c)، مغناطش اشباع (M_s)، مغناطش مانده (M_r) و نسبت چارگوشی منحنی پسماند ($\frac{Mr}{M_s}$ ، نمونه‌ها در جدول ۲ آورده شده است. دیده می‌شود که با تغییر نسبت مولی اسید سیتریک مشخصه‌های مغناطیسی نمونه‌ها تغییر کرده‌اند. بنابر گزارش‌های پیشین نسبت چارگوشی بزرگتر یا مساوی ۰,۵، بیانگر این است که مواد دارای تک حوزه‌های مغناطیسی هستند ولی مقدار کمتر از ۰,۵ را می‌توان به تشکیل ساختار مغناطیسی چند حوزه‌ای نسبت داد [۱۵]. با توجه به جدول ۲ نسبت چارگوشی منحنی پسماند همه نمونه‌ها بزرگتر از ۰,۵ است پس همه نمونه‌های ساخته شده دارای ساختار مغناطیسی تک حوزه‌ای هستند.

شکل ۴ تصاویر FESEM نمونه‌ها با نسبت‌های مولی مختلف اسیدسیتریک را نشان می‌دهد. دیده می‌شود که نمونه‌ها صفحه‌ای هستند و صفحه‌ها به طور نامنظم قرار گرفته‌اند (همچون نمونه‌ها در مراجع [۱, ۱۴]). میانگین ضخامت صفحات حدود ۸۴nm است. با افزایش نسبت مولی تا ۱/۵ ضخامت صفحات کاهش یافته در حالی که برای نمونه نسبت مولی بالاتر ۲) ضخامت صفحات افزایش یافته است. تصاویر FESEM نشان می‌دهد که میزان سوخت در فریت شش‌گوشی نوع-Y بر ریخت‌شناسی نمونه‌ها تاثیر گذاشته است.

شکل ۵ منحنی‌های پسماند نanosاختار $Sr_2Co_2Fe_{12}O_{22}$ تهییه شده در دمای پخت 1000°C برای زمان ۳ ساعت با نسبت‌های مولی اسید سیتریک متفاوت را نشان می‌دهد.



شکل ۴ تصاویر FESEM نanosاختار $Sr_2Co_2Fe_{12}O_{22}$ تهییه شده با نسبت‌های مولی اسید سیتریک مختلف، (الف)، (ب)، (ت)، (الف')، (ب') و (ت').



شکل ۵ منحنی‌های پسماند مغناطیسی نانوساختار $\text{Sr}_2\text{Co}_2\text{Fe}_{12}\text{O}_{22}$ تهیه شده با نسبت‌های مولی اسید سیتریک مختلف.

جدول ۲ خواص مغناطیسی نانوساختار $\text{Sr}_2\text{Co}_2\text{Fe}_{12}\text{O}_{22}$ تهیه شده با نسبت‌های مولی اسید سیتریک ۰,۵، ۱، ۱,۵، ۲.

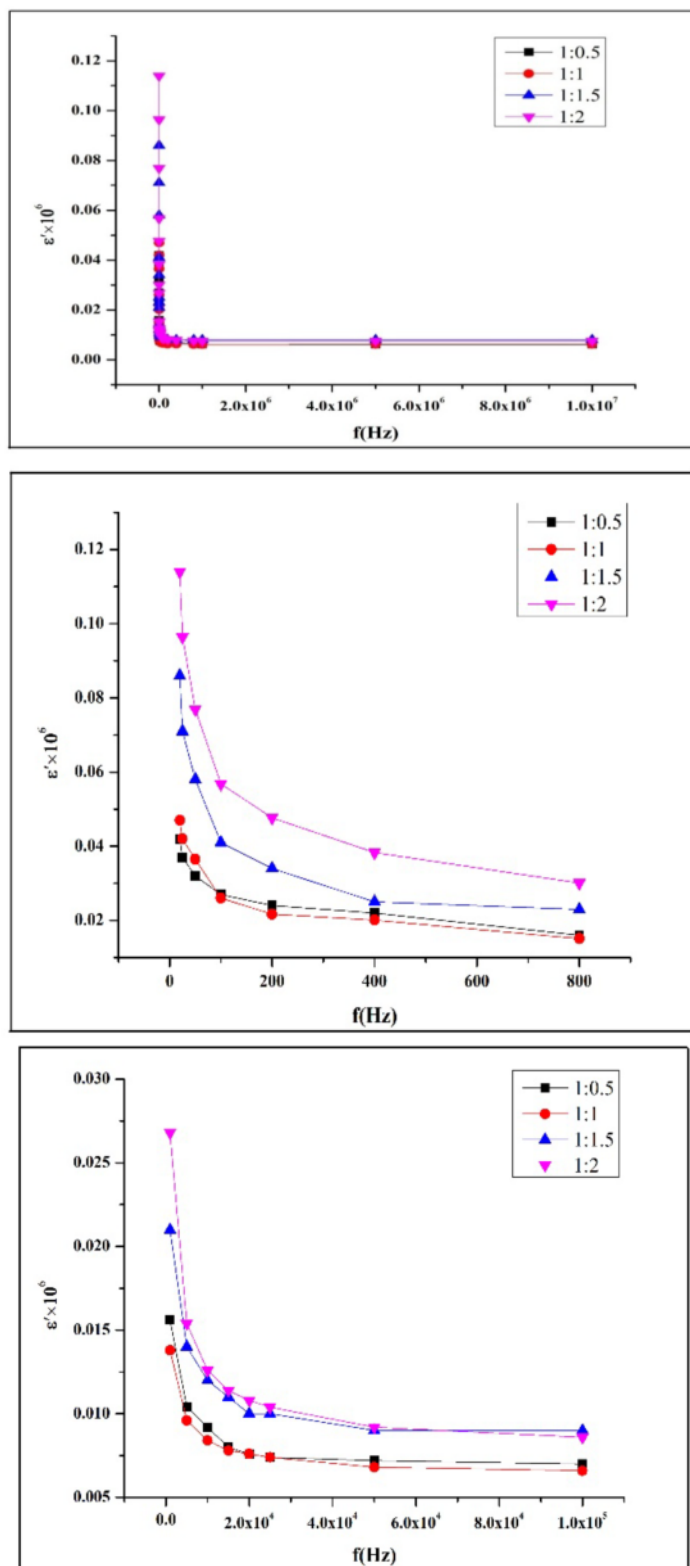
$\frac{M_r}{M_s}$	H_c (Oe)	M_r (emu/g)	M_s (emu/g)	نسبت مولی
۰,۵۲	۱۵۰۰	۲۷,۸۳۲	۵۳,۵۰۵	۰,۵
۰,۵۴	۲۰۰۰	۲۳,۱۹۴	۴۲,۶۵۹	۱
۰,۵۴	۱۵۰۰	۲۵,۱۸۴	۴۷,۵۳۶	۱,۵
۰,۵۳	۲۰۰۰	۲۴,۴۷۹	۴۵,۹۵۷	۲

و یک قطبش بارفضایی در مرزدانه‌ها ایجاد می‌کند. بنابراین ثابت دیالکتریک در فرکانس‌های پایین از مرزدانه‌ها ناشی می‌شود در حالی که در فرکانس‌های بالا از دانه‌ها ناشی می‌شود. بنابر سازوکار پرش ورروی، رسانش الکتریکی در فریت‌ها، به علت پرش الکترون‌ها بین یون‌هایی که بیش از یک حالت ظرفیت دارند و به طور کاتورهای در جایگاه‌های شبکه توزیع شده‌اند، می‌باشد. [۱۶-۱۸]. شکل ۸ رسانندگی الکتریکی ac بر حسب بسامد نشان می‌دهد که دیده می‌شود با افزایش بسامد رسانندگی الکتریکی افزایش یافته است. این امر را نیز می‌توان با مدل ماقسول-وگنر و نظریه کوب توضیح داد. این دو مدل براساس رسانندگی ac در بسامدهای پایین توسط رفتار مرزدانه‌ها توصیف می‌شود در حالی که رسانندگی در بسامدهای بالا ممکن است به پراکندگی دانه‌ها نسبت داده شود [۱۹، ۲۰]. با افزایش بسامد میدان اعمالی، لایه رسانا فعال‌تر شده و از این‌رو انتقال الکترون بین یون‌های Fe^{2+} و Fe^{3+} را داریم، در نتیجه رسانندگی افزایش یافته است. از شکل ۸، مشخص است که در بسامدهای بالا قله‌ای ظاهر شده است که به دلیل بستگی

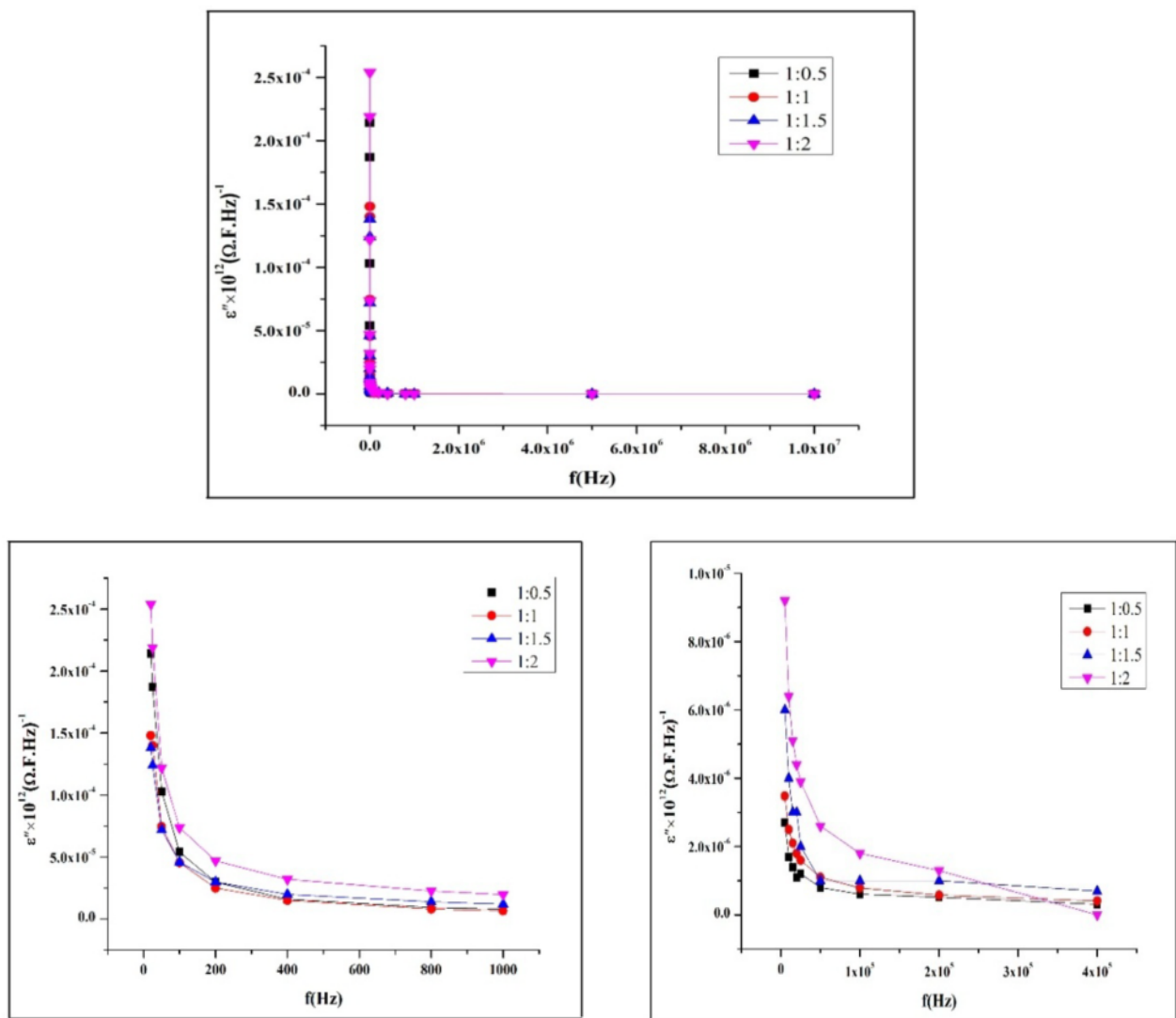
رفتار دیالکتریک یکی از مشخصه‌های فریت‌های است که به شرایط آماده سازی، دما و زمان پخت و نوع و مقدار آلایش بستگی دارد [۱]. در این پژوهش، مشخصه‌های دیالکتریک شامل قسمت حقیقی ثابت دیالکتریک (ϵ')، اتلاف دیالکتریک ($\epsilon'' = \epsilon' \tan \delta$)، رسانندگی ($\sigma_{ac}^{-1} (\Omega \cdot \text{m})$)، اتلاف نفوذپذیری (۰,۱) و ضریب خودالقایی (L) در گستره بسامدی ۰,۱ تا ۱۰ MHz اندازه‌گیری شده است. شکل‌های ۶ و ۷ منحنی ثابت دیالکتریک و اتلاف دیالکتریک را به صورت تابعی از بسامد اعمالی برای نمونه‌های تهیه شده با نسبت‌های مولی مختلف دیالکتریک (۰,۵، ۱، ۱,۵ و ۲) نشان می‌دهند. دیده می‌شود که ϵ' و ϵ'' با افزایش بسامد، کاهش می‌یابند و در بسامدهای بالاتر به یک مقدار ثابت می‌رسند. این رفتار فریت‌ها را می‌توان با مدل دولایه‌ای ماقسول-وگنر و نظریه کوب توضیح داد. طبق این مدل مواد دیالکتریک با ساختار ناهمگن را می‌توان شامل دانه‌هایی با رسانندگی بالا که توسط لایه‌های نازک مقاومتی (مرزدانه‌ها) از هم جدا شده در نظر گرفت. ولتاژ اعمالی بر نمونه به طور عمده در عبور از مرزدانه‌ها کاهش یافته

است بین یون‌ها با ظرفیت شیمیایی مختلف تشدید می‌شود.
[۱۷]

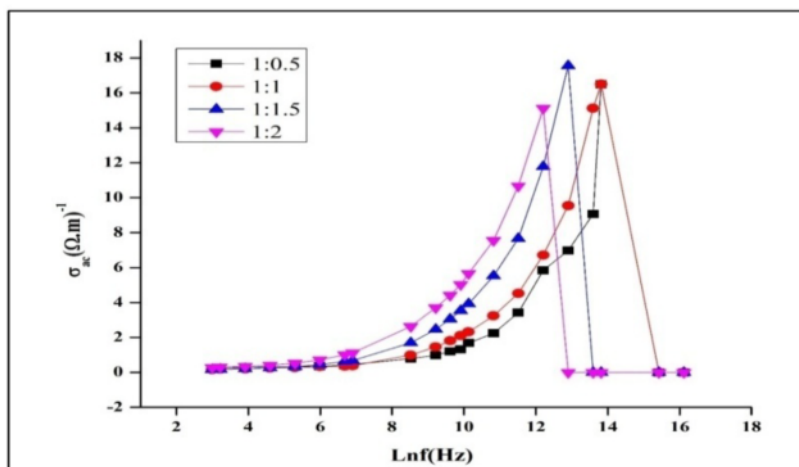
قوی بین رفتارهای الکتریکی و دیالکتریکی در فریت‌ها است.
زیرا در فرکانس‌های نسبتاً بالا پرش الکترون که عامل رسانایی



شکل ۶ نمودار قسمت حقیقی ثابت دیالکتریک نانوساختار $Sr_2Co_2Fe_{12}O_{22}$ بر حسب بسامد در نسبت‌های مولی مختلف اسید سیتریک.



شکل ۷ نمودار اتلاف دیالکتریک نانوساختار $Sr_2Co_2Fe_{12}O_{22}$ بر حسب بسامد در نسبت‌های مولی مختلف اسید سیتریک.



شکل ۸ نمودار رسانندگی الکتریکی ac نانوساختار $Sr_2Co_2Fe_{12}O_{22}$ بر حسب بسامد در نسبت‌های مولی مختلف اسید سیتریک.

نتایج

- hexaferrites prepared by sol-gel method”, Ceramics International, 40, 5231 (2014).*
- [5] Ali I., Islam M.U., Ashiq M.N., Khan H.M., Iqbal M.A., Najam-Ul-Haq M., “Effect of Eu–Ni substitution on electrical and dielectric properties of Co–Sr–Y-type hexagonal ferrite”, Mater. Res. Bull., 49, 338 (2014).
- [6] Pullar R.C., “A review of the synthesis, properties and applications of hexaferrite ceramics”, Journal of Progress in Materials Science, 57, 1191 (2012).
- [7] Shoushtari M.Z., Ghahfarokhi S.M., Ranjbar F., “A Study of the Morphological Properties of $SrFe_{12-x}Co_xO_{19}$ ($x= 0, 0.1, 0.2$) Hexaferrite Nanoparticles”, Journal of Superconductivity and Novel Magnetism, 28, 1601 (2015).
- [8] Ali I., Shakoor A., Islam M.U., Saeed M., Ashiq M.N., Awan M.S., “Synthesis and characterization of hexagonal ferrite $Co_2Sr_2Fe_{12}O_{22}$ with doped polypyrrole composites”, Current Applied Physics, 13, 1090 (2013).
- [9] Iqbal M.J., Ashiq M.N., Gul I.H., “Physical, electrical and dielectric properties of Ca-substituted strontium hexaferrite ($SrFe_{12}O_{19}$) nanoparticles synthesized by co-precipitation method”, Journal of Magnetism and Magnetic Materials, 322, 1720 (2010).
- [10] Ashiq M.N., Iqbal M.J., Gul I.H., “Structural, magnetic and dielectric properties of Zr–Cd substituted strontium hexaferrite ($SrFe_{12}O_{19}$) nanoparticles”, Journal of Alloys and Compounds, 487, 341 (2009).
- [11] Ghahfarokhi S.M., Rostami Z.A., Kazeminezhad I., “Fabrication of $PbFe_{12}O_{19}$ nanoparticles and study of their structural, magnetic and dielectric properties”, Journal of Magnetism and Magnetic Materials, 399, 130 (2016).
- [12] Ghahfarokhi S.M., Ranjbar F., Shoushtari M.Z., “A study of the properties of $SrFe_{12-x}Co_xO_{19}$ nanoparticles”, Journal of

نانوساختار هگزافریت نوع - Y ($Sr_2Co_2Fe_{12}O_{22}$) به روش سل-ژل خوداحتراقی تهیه و تأثیر سوخت اسید سیتریک با نسبت‌های مولی ۰.۵، ۱، ۱/۵ و ۲ بر خواص ساختاری، مغناطیسی و دی‌الکتریکی آن بررسی شد. الگوهای XRD نشان داد که بهترین نمونه برای تشکیل نانوساختار هگزافریت نوع-Y تک فاز، نسبت مولی اسید سیتریک ۱/۵ است. نتایج اندازه‌گیری مغناطیسی نمونه‌ها نشان داد که همه نمونه‌ها دارای ساختار مغناطیسی تک حوزه‌ای هستند. تصاویر FESEM نشان داد که نمونه‌های تهیه شده با نسبت‌های مولی ۰.۵ و ۲ بیشترین ضخامت صفحات را دارند. نتایج اندازه‌گیری دی‌الکتریکی همه نمونه‌ها نشان داد که با افزایش بسامد میدان اعمالی، قسمت حقیقی ثابت دی‌الکتریک و اتلاف دی‌الکتریک کاهش ولی رسانندگی افزایش یافته است که این رفتار را می‌توان با مدل دو لایه‌ای ماکسول و گنر و نظریه کوب توضیح داد.

مراجع

- [1] Elahi A., Ahmad M., Ali I., Rana M. U., “Preparation and properties of sol-gel synthesized Mg-substituted Ni₂Y hexagonal ferrites”, Ceramics International, 39, 983 (2013).
- [2] Farzin Y.A., Mirzaee O., Ghasemi A., “Influence of Mg and Ni substitution on structural, microstructural and magnetic properties of $Sr_2Co_{2-x}Mg_{x/2}Ni_{x/2}Fe_{12}O_{22}(Co_2Y)$ hexaferrite”, Journal of Magnetism and Magnetic Materials, 371, 14 (2014).
- [3] Ali, I., Ahmad, M., Islam, M.U., Awan, M.S., “Substitution effects of La^{3+} ions on the structural and magnetic properties of Co_2Y hexaferrites synthesized by sol-gel autocombustion method”, Journal of sol-gel science and technology, 68, 141 (2013).
- [4] Mahmood S.H., Jaradat F.S., Lehlooh A.F., Hammoudeh A., “Structural properties and hyperfine interactions in Co-Zn Y-type

- [17] Aslam A., Islam M.U., Ali I., Awan M.S., Irfan M., Iftikhar A., “*High frequency electrical transport properties of $CoFe_2O_4$ and $Sr_2NiMnFe_{12}O_{22}$ composite ferrites*”, Ceramics International, 40, 155 (2014).
- [18] Ali I., Islam M.U., Ashiq M.N., Iqbal M.A., Khan H.M., Murtaza G., “*Role of grain boundaries in the conduction of Eu–Ni substituted Y-type hexaferrites*”, Journal of Magnetism and Magnetic Materials, 362, 115 (2014).
- [19] Sharma J., Sharma N., Parashar J., Saxena V.K., Bhatnagar D., Sharma K.B., “*Dielectric properties of nanocrystalline Co-Mg ferrites*,” Journal of Alloys and Compounds, 649, 362 (2015).
- [20] Irfan M., Islam M.U., Ali I., “*Effect of Y_2O_3 doping on the electrical transport properties of $Sr_2MnNiFe_{12}O_{22}$ Y-type hexaferrite*”, Current Applied Physics, 14, 112 (2014).
- Magnetism and Magnetic Materials, 349, 80 (2014).
- [13] Iqbal M.J., Ashiq M.N., “*Physical and electrical properties of Zr–Cu substituted strontium hexaferrite nanoparticles synthesized by co-precipitation method*”, Chemical Engineering, 136, 383 (2008).
- [14] Ali I., Islam M.U., Ashiq M.N., Iqbal M.A., Awan M.S., Naseem S., “*Role of Tb–Mn substitution on the magnetic properties of Y-type hexaferrites*”, Journal of Alloys and Compounds, 599, 131 (2014).
- [15] Iqbal M.J., Farooq S., “*Impact of Pr–Ni substitution on the electrical and magnetic properties of chemically derived nanosized strontium- barium hexaferrites*”, Journal of Alloys and Compounds 505, 560 (2010).
- [16] Chauhan C.C., Jotania R.B., Jotania K.R., “*Conductivity and dielectric properties of M-type barium magnesium hexaferrite powder*”, International Journal of Advanced Engineering Research and Studies 1, 25 (2012).